论 荖

大鼠动脉粥样硬化不同阶段的血管紧张素Ⅱ变化

郭延松,吴宗贵*,杨军柯,黄高忠(第二军医大学长征医院心血管内科,上海 200003)

目的:探讨组织和血浆血管紧张素〖(angiotensin〖,Ang〖)与动脉粥样硬化(atherosclerosis, AS)的关系。方法: 40 只健康雄性 Wistar 大鼠随机分为 4 组(每组 10 只):正常对照组、高脂组、维生素 D 负荷组、内皮损伤组,分别以普通饲料、 高脂饲料、高脂饲料+维生素 D 负荷、高脂饲料+维生素 D 负荷+内膜球囊损伤术处理,复制大鼠 AS 形成 3 个阶段(高脂血

症、纤维增生性动脉硬化、较成熟 AS 病变斑块形成)模型。利用计算机图像分析系统测定大鼠胸主动脉内(中)膜厚度,采用放 射免疫分析法测定各组大鼠胸主动脉组织和血浆 Ang II 水平。结果;与正常对照组相比,维生素 D 负荷组及内皮损伤组大鼠 胸主动脉内膜厚度均显著增加($P{<}0.01$),中膜厚度减少($P{<}0.05,P{<}0.01$);3 组模型动物胸主动脉组织 ${
m Ang}$ ${
m I}$ 水平均显著 高于(以内膜损伤组最高)对照组($P{<}0.05$ 或 $P{<}0.01$),且组织 ${
m Ang}$ ${
m I}$ 水平与内膜厚度呈显著正相关($r{=}0.934, P{<}0.01$);

而血浆 Ang I 水平在各组间无统计学差异。结论: AS 的病变程度与大鼠胸主动脉 Ang I 水平密切相关,而与血浆 Ang I 水平

无关。提示 Ang I 水平增高是 AS 的致病因素之一。 [关键词] 动脉粥样硬化;高脂;维生素 D;内皮损伤;血管紧张素 I

[中图分类号] R 541.4 [文献标识码] A [文章编号] 0258-879X(2004)06-0629-04

Changes of angiotensin I at different stages of atherosclerosis in rats

GUO Yan-Song, WU Zong-Gui*, YANG Jun-Ke, HUANG Gao-Zhong (Department of Cardiovasology, Changzheng Hospital, Second Military Medical University, Shanghai 200003, China) [ABSTRACT] Objective: To investigate the relation between the angiotensin I (Ang I) levels in thoracic aorta and plasma

and atherosclerosis (AS). Methods: Totally 40 healthy male Wistar rats were randomly divided into 4 groups (n=10). Four

different feeding methods, including normal diet, high lipid, high lipid+vitamin D overload, and high lipid+vitamin D overload+endothelium injury, were used for inducing AS in rats. The thickness of intima was taken as the index of AS severity, radio-immunity analysis was used to assay Ang I in each group in thoracic aorta and plasma. Results: Only rats in high lipid diet group did not develop AS plaque; high lipid + vitamin D only resulted in AS fibrous plaque with VSMC proliferation; high lipid+vitamin D+endothelium injury formed ripe AS plaque. The thickness of intima and Ang I of thoracic aorta increased gradually compared with control group (P < 0.01). The Ang I of plasma was not different among all the groups. Ang

I in thoracic aorta had positive relation with the thickness of intima (r=0.934, P<0.01). Conclusion: The Ang I level in thoracic aorta, but not in plasma, has close relation with AS severity, which indicates that Ang I is one of etiological factors

of AS.

[KEY WORDS] atherosclerosis; high lipid; vitamin D; endothelium injury; angiotensin I [Acad J Sec Mil Med Univ, 2004, 25(6): 629-632]

动脉粥样硬化(atherosclerosis, AS)的形成是 一个长期缓慢的过程,是多因素共同作用的结果。大 量研究表明肾素-血管紧张素-醛固酮系统参与了 AS 的病理过程[1,2],特别是血管紧张素 Ⅱ (angiotensin I, Ang I)起重要作用。本实验通过高脂 饮食、维生素 D 负荷结合主动脉内膜球囊损伤法[3] 建立大鼠 AS 形成不同阶段的动物模型,测定 AS

各阶段组织和血浆 Ang I 水平,探讨 Ang I 与 AS

的关系,以利于进一步研究 AS 的发病机制。

物技术研究所)。 40 只大鼠随机分为 4 组(每组 10 实验分组 只):(1)正常对照组,以大鼠基础饲料饲养 90 d,开

管(1.5 F, Cordis 公司), 胆固醇及胆酸钠(上海蓝季

科技发展有限公司),维生素 D₃ 粉剂及针剂(上海

第九制药厂),丙基硫氧嘧啶(上海复星朝晖制药有

限公司),Ang I 放射免疫分析测定盒(北京北方生

始实验后 7 d 行假球囊损伤手术;(2)高脂组,以高

[基金项目] 国家重点基础研究规划("973"计划)(G2000056900). [作者简介] 郭延松(1971-),男(汉族),博士,主治医师.现在福建

材料和方法

1. 1○ 材料-2040 只健康/雄性-Wistlanu大鼠医第三二军大Publ

E-mail: ysguo1234@sina.com http://www.cnki.net 学实验动物中心提供),体质量 $200 \sim 300 \, \mathrm{g}_{\odot}$ 球囊导 * Corresponding author. E-mail:zgwu@medmail.com.cn

省立医院心血管内科,福州 350001.

 $(n-6 = \pm c 1/\mu m)$

0.5% 胆酸钠、94.3% 的基础饲料)饲养 90 d,余处理同对照组;(3)维生素 D 负荷组,以动脉粥样硬化饲料(高脂饲料基础上加入维生素 D_3 1.25×10^6 U/kg)饲养 90 d,同时予每只大鼠右下肢肌内注射 3×10^5 U/kg 维生素 D_3 ,每隔 30 d 注射 1 次,共 3 次,余处理同对照组;(4)内皮损伤组,动物处理同第 3 组,

脂饲料(2%胆固醇、3%猪油、0.2%丙基硫氧嘧啶、

不同的是开始实验后 7 d 行球囊损伤手术,具体方法见文献 [4]。

1.3 标本采集 模型制备完成后,采集血液和动脉

标本。(1)暴露大鼠腹主动脉,采集动脉血,迅速注入 冰浴冷却的含酶抑制剂抗凝管中摇匀,即刻放回冰 浴中冷却,待离心时取出。4℃下1000 r/min 离心5 min,分离出血浆,—80℃保存备用。(2)剪取大鼠胸 主动脉,取其下段约1 cm,立即以10%中性甲醛固

术刀迅速将 50 mg 胸主动脉分离成适宜的小块,迅速加入冰浴冷却的酶抑制剂,再加入 1 ml 预冷的 PBS(0.01 mol/L,pH=7.4),以匀浆器在冰浴中匀浆,4℃下 5 000 r/min 离心 10 min,收集上清,于

定,用于后续检查。(3)提取胸主动脉管壁蛋白:用手

-80 C冰箱中保存备用。 1.4 病理形态学观察 主动脉标本连续切片,H-E 染色,利用计算机图像分析系统检测动脉内膜、中膜 厚度。

序及。 1.5 血浆及血管组织 Ang I 的测定 采用放射免疫分析测定法,按 Ang I 放射免疫分析测定盒(北京北方生物技术研究所)说明书进行。

1.6 统计学处理 数据用 $\overline{x}\pm s$ 表示,行方差分析,各组间两两比较用 SNK 法。血管组织 $Ang \mathbb{I}$ 水平与相应的内膜厚度行相关分析。

2 结 果

2.1 各组大鼠胸主动脉病理改变 H-E 染色显示,正常对照组大鼠主动脉内膜、中膜和外膜分界清楚;光镜下见内皮细胞完整,内膜光滑;中膜主要由呈同心排列的弹性纤维膜组成,基质内可见有环形的平滑肌细胞;外膜较薄,为疏松结缔组织,内含少量平滑肌细胞。高脂组大鼠主动脉壁层次尚清晰;内膜内皮细胞仍存;中膜平滑肌层无明显萎缩、增厚;外膜为疏松结缔组织,内含少量平滑肌细胞。维生素D负荷组大鼠主动脉壁内膜增厚,平滑肌细胞增生明显,细胞排列紊乱,弹性纤维层结构不清,纤维组

织增生伴片状、点状钙化;中膜萎缩,局部管壁向管

组大鼠主动脉壁内皮细胞脱落,内膜明显增厚,斑块

表面纤维帽很薄,其下有大量脂质沉积,平滑肌细胞减少,见钙化灶,深部为坏死物质;中膜明显受压萎缩,呈较典型的成熟 AS 斑块。

2. 2 各组大鼠胸主动脉内膜、中层厚度 高脂组与正常对照组相比,内膜、中膜厚度均无统计学差异,维生素 D 负荷组与正常对照组相比,内膜厚度显著增加 (P<0.01),中膜厚度减少(P<0.05);内皮损伤组与正常对照组相比,内膜厚度调如(P<0.01),中膜厚度明显增加(P<0.01),中膜厚度明显增加(P<0.01),中膜厚度明显变薄(P<0.01)。见表 1。

表 1 胸主动脉内膜及中层厚度 Tab 1 Thickness of intima and media in thoracic aorta

		$(n-0,x\pm 3,t/\mu m)$
Group	Intima	Media
Control	8.3± 1.4	100.7± 9.7
HC	8.6 ± 1.3	102.7 \pm 10.1
$HC+D_3$	37.8± 8.9**	80.2± 9.1*
$\Pi C + D + DI$	105 7 94 6 * *	49 C C 1 * *

0.05, * * $P < 0.01 \ vs$ control group

2.3 各实验组大鼠血浆及胸主动脉组织 Ang I 水平 血浆 Ang I 水平在 4 组间无统计学差异;而胸主动脉组织中 Ang I 水平,各实验组均较对照组显著升高(P < 0.05 或 P < 0.01),以内膜损伤组最高(表 2)。

表 2 各组大鼠血浆及胸主动脉组织的 Ang II 水平 Tab 2 Ang II levels in thoracic aorta and plasma in different groups

 $(n=4,\overline{x}+s)$

		(11) 11 12 12 17
Group	Plasma $(ho_{ m B}/ m pg ullet ml^{-1})$	Thoracic aorta $(w_B/pg \cdot mg^{-1})$
Control	147.4 ± 27.3	454.3± 41.1
HC	152.7 \pm 23.1	577.8± 60.5*
$HC+D_3$	140.5 \pm 24.8	720.3 \pm 35.3 * *
$HC+D_3+BI$	138.0 \pm 19.5	937.8±101.6**

HC:High lipid; HC+D₃:High lipid+vitamin D₃ overload; HC+D₃ +BI: High lipid+vitamin D₃ overload+endothelium injury; *P<0.05, **P<0.01 vs control group

2.4 血管组织 Ang I 水平与相应的内膜厚度相关分析 直线相关分析结果表明,大鼠主动脉粥样硬化病变中 Ang I 水平与相应的内膜厚度密切相关 (r=0.934, P<0.01)。

腔内突出,形成纤维增生性动脉硬化斑块。内皮损伤 ublishing House. All rights reserved. http://www.cnki.net

AS 动物模型是研究其发病机制及探讨治疗措

施的重要条件。AS 的形成是多因素引起,相应地曾 提出不少学说,如脂质浸润学说、钙超载学说、内皮

损伤学说、血栓形成学说、免疫反应学说、氧化修饰

脂蛋白学说等。前期我们根据 AS 的前 3 种发病机 制学说,以3种不同方法建立大鼠 AS 斑块形成模

型并进行了比较[3],发现不同方法在较短时间(3个 月)内建立的大鼠 AS 模型各不相同,其中高脂饲料

不易形成 AS 病变;高脂饲料+维生素 D 负荷仅仅

导致以血管平滑肌细胞增生为主的纤维增生性动脉 硬化:高脂饲料+维生素 D 负荷+内膜球囊损伤术 可形成较成熟的 AS 病变斑块。虽然高脂饲料+维 生素 D 负荷+内膜球囊损伤术在短期内能形成较

成熟的 AS 病变斑块,但要按时间划分病变的各阶 段有一定困难。故本研究实验利用已建立的动物模

型,模拟 AS 形成的 3 个阶段:高脂阶段、纤维增生 性动脉硬化阶段、较成熟 AS 病变斑块阶段,以放射 免疫分析法测定了各组动物血浆和胸主动脉 Ang Ⅱ水平,并以胸主动脉内膜(中膜)厚度值作为反映

AS 严重程度的指标,比较分析了内膜厚度与 Ang Ⅱ水平的相关性。结果发现,血浆 Ang Ⅱ水平在对 照组及 3 个模型组间均无统计学差异;而胸主动脉 组织 Ang I 水平在各组中逐渐升高,在较成熟 AS 病变斑块形成时达最高,且胸主动脉 Ang I 水平与

内膜(中膜)厚度呈显著正相关(r=0.934, P<0.01)。Diet 等[5]研究也证实,AS 斑块中血管紧张素转 换酶及 Ang I 水平均升高。提示 AS 病变形成与动 脉组织 Ang I 水平密切相关,而与血浆 Ang I 水平 无关。

肾素-血管紧张素-醛固酮系统(renin-angiotensin-aldosterone system, RAAS) 最早发现于 血液中。近来研究证实,RAAS 广泛存在于局部组 织(血管内皮及平滑肌、心肌、肺、脑和性腺等),以自 分泌或旁分泌形式发挥作用,并通过血液循环作用

于其他器官,同时发现血循环与组织中 RAAS 的含 量有明显差别[1,2]。大量研究表明 RAAS 参与了 AS 的病理过程[6~8],有关其参与 AS 的发病机制,现大 多数研究倾向于认为[9,10]:(1)Ang I 引起血管收 缩,导致高血压,继发性引起 AS;(2)Ang I 促进

(4)Ang I 引起内皮细胞依赖性舒血管功能减弱; (5)Ang I 引起多种炎症因子(黏附分子、IL-6、单核 细胞趋化因子)的产生。

白-胆固醇可攻击 ACE 基因,在局部血管壁内产生

VSMC 增殖及血管重构;(3)RAAS 的抗纤溶功能;

现认为各种致 AS 因素作用,使血管局部各主

Ang I [5], Ang I 能刺激心肌成纤维细胞增生,诱导

其 Ⅰ、Ⅲ型胶原 mRNA 表达及蛋白分泌增多[11]; Ang I 能促进心肌细胞凋亡、内皮细胞凋亡,刺激血

管平滑肌细胞增生,并分泌多种细胞因子(血小板衍 生生长因子、碱性成纤维细胞生长因子、胰岛素样生

长因子、转化生长因子β和内皮素),并使 VSMC 膜 上这些细胞生长因子受体表达增加,进而加速 AS

的形成[12]。 另外,本研究发现胸主动脉组织 Ang I 水平在 各组中逐渐升高,而血浆 Ang I 水平在各组间均无

统计学差异,这可能与 RAAS 以自分泌或旁分泌形 式发挥作用,并通过血液循环作用于其他器官的特 点有关,导致血循环与组织中 RAAS 的含量有明显 差别。Campbell 等[13]应用 ACEI 对高血压大鼠进行 降压作用时,发现循环中的 Ang I 水平治疗前后无

变化,而 ACEI 的降压作用仍能发挥作用,进一步研

究发现高血压大鼠的心脏、肾脏等组织中的 Ang I

水平明显下降,也从侧面证明了 RAAS 可以自分泌

或旁分泌形式在局部组织中起作用。

「参考文献]

hibits angiotensin converting enzyme in both the endothelium and adventitial of the internal mammary artery in patients with ischemic heart disease[J]. Circulation, 1997, 96(2):174-182. [2] Re RN. Tissue renin angiotensin systems [J]. Med Clin North Am, 2004, 88(1): 19-38.

[1] Zhuo JL, Froomes P, Casley D, et al. Perindopril chronically in-

[3] 郭延松,吴宗贵,杨军柯,等.三种大鼠动脉粥样硬化模型复制 方法的比较[J]. 中国动脉硬化杂志,2003,11(5):465-469. Guo YS, Wu ZG, Yang JK, et al. Comparison on the three du-

plication methods of atherosclerosis model in rats [J]. Zhongguo Dongmaiyinghua Zazhi (Chin J Arterioscler), 2003, 11 (5):465-469.

[4] Fonseca FA, Paiva TB, Silva EG, et al. Dietary magnesium improves endothelial dependent relaxation of ballon injured arteries in rats[J]. Atherosclerosis, 1998, 139(2): 237-242. [5] Diet F, Pratt R, Berry GJ, et al. Increased accumulation of tis-

sue ACE in human atherosclerotic coronary artery disease[J]. Circulation, 1996, 94(11): 2756-2767. [6] Brewster UC, Setaro JF, Perazella MA. The renin-angiotensinaldosterone system: cardiorenal effects and implications for renal and cardiovascular disease states[J]. Am J Med Sci, 2003,

326(1):15-24. [7] Zennaro MC, Farman N, Bonbalet JP, et al. Tissue specific expression of and messenger ribonucleic acid isoforms of the human mineralocorticoid receptor in normal and pathological

states[J]. J Clin Endocrinol Metab, 1997, 82(5):1345-1352. 要炎性细胞中0RAIASa活性增加;如氧化低密度脂蛋Publishing House Market Strate of the Control of the C of an angiotensin converting enzyme inhibitor and an angiotensin \mathbb{I} antagonist in cynomolgus monkeys fed a high cholesterol diet[J]. $Br\ J\ Pharmacol$, 1999, 128(3):523-529.

- [9] Grafe M, Auch-Schwelk W, Zakrzewicz A, et al. Angiotensin
 I induced leukocyte adhesion on human coronary endothelial
- cells is mediated by E-selectin[J]. Circ Res, 1997, 81(5):804-
- [10] Ishida M, Ishida T, Nakashima H, et al. Mnk1 is required for angiotensin I -induced protein synthesis in vascular smooth muscle cells[J]. Circ Res, 2003, 93(12):1218-1224.
- [11] Brilla CG, Zhou G, Rupp H, et al. Role of angiotensin I and

prostaglandin E₂ in regulating cardiac fibroblast collagen turnover[J]. Am J Cardiol, 1995, 76(13):8D-13D.

- [13] Campbell DJ. Dumcan AM. Kladis A. et al. Converting enzyme inhibition and its withdrawal in spontaneously hypertensive rats[J]. J Cardiol Pharmacol. 1995, 26(3): 426-436.

[收稿日期] 2003-10-09 [本文编辑] 邓晓群 [修回日期] 2004-04-06

个案报告。

肾移植术后超声随访检查尿路肿瘤二例报告

Ultrasound examinations of urinary tract tumors in patients after renal transplantation; a report of 2 cases

胀 玲^{1,2},章建全¹

(1. 第二军医大学长征医院超声科,上海 200003; 2. 宜昌市第一人民医院超声科,宜昌 443000)

[关键词] 肾移植;尿道肿瘤;超声检查

[中图分类号] R 737.15 [文献标识码] B [文章编号] 0258-879X(2004)06-0632-01

1 临床资料 例 1,女,66 岁,因尿毒症接受同种异体肾移植,术后 4 个月出现间歇性、无痛性肉眼血尿,超声检查发现膀胱内占位性病变,MRI 检查见膀胱内多个散在分布的菜花状赘生物,以右侧壁较多(图 1A),镜下活检提示为"膀胱移行细胞癌",予经尿道膀胱肿瘤电切术。1 年后患者再发血尿,超声检查发现左侧原肾肾盂及左输尿管上段实性占位性病变(图1B),手术切除左肾及左输尿管后病理诊断为"左肾

盂、左输尿管移行细胞癌"。术后半年余患者再次因无痛性肉眼血尿门诊行超声检查,发现右侧原肾 83 mm×42 mm×45 mm 大小,实质萎缩,肾盂内有一约 42 mm×25 mm 的实性低回声团块,形态不规则,充填整个肾盂并侵及肾实质(图 1C)。移植肾声像图未见明确异常。超声诊断"右侧原肾肾盂内实性占位,移行细胞癌可能"。右侧原肾全切除术后如图 1D 所见。病理诊断:右原肾移行细胞癌($\mathbb{I} \sim \mathbb{I}$ 级)侵犯肾髓质。





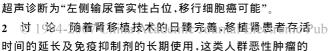




图 1 病例 1 的影像学资料

A:膀胱内多发菜花状赘生物;B:左侧原肾肾盂及左输尿管上段实性占位; C:右侧原肾肾盂内实性占位并侵犯实质;D:右侧原肾切除术后标本;箭头所指为肿瘤

例 2, 女, 54 岁, 因尿毒症接受同种异体肾移植, 术后 16 个月因无痛性血尿就诊, 超声检查发现左侧输尿管开口附近处、膀胱右后壁及顶部均可见多个实性强回声, 较大者约 20 mm $\times 15$ mm, 位于右后壁(图 2A), 超声诊断为"膀胱内多发实性占位,移行细胞癌可能"。予经尿道膀胱肿瘤电切术, 病理诊断与超声诊断相符。1 个月后患者再次出现肉眼血尿, 超声检查发现左侧输尿管下段管壁不规则增厚, 长约 45 mm, 厚约 10 mm, 管腔狭窄, 输尿管上中段及左肾盂轻度积水(图 2B)。



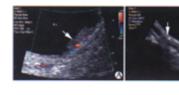


图 2 病例 2 的超声影像学资料 A:左侧输尿管开口处实性强回声; B:左侧输尿下段实性占位并中上段梗阻;箭头所指为肿瘤 (下转第 637 页)

blishing House, All rights reserved, http://www.cnlci.net 作者简介] 张 玲(1968-),女(汉族),主治医师,第二军医大学 2001 级人才基金班学员.